

面が消失してしまうと直接還元ガスとの反応に関与し得る表面はきわめて少なくなると想像される。しかるに、 700°C で製造し、後に 900°C で1hr加熱処理されたヴァスタイトはその比表面積をほとんどえていないにも拘らず、Fig. 2のIIbに示すように還元速度の著しい低下を示す。

以上、2種のヴァスタイトの物理的な性質についていろいろ検討したが、著者らの行なつた実験の範囲ではそれら諸特性の間に著しい相違点を見出せなかつた。したがつて、2種のヴァスタイトの物理的もしくは結晶学的性質の相違が還元過程に著しい影響を与えるのであれば、そのような相違は、試料全体として平均化された測定値を比較する限り検知されない程度の量的にきわめて僅かで、一方温度に対して非常に敏感な、表面の活性部分のごとき因子に基づくとみなされよう。そして、そのような、活性部分が金属生成の際の結晶核の生成などに重要な寄与をなし、生成金属鉄相の状態に大きな相違をもたらすものと考えられる。

予備還元して得たヴァスタイトの被還元性に關連するこのような現象は、たとえば、鉄鉱石の予備処理などの面で考慮るべき因子であると考えられる。

5. 結 言

(1) ヘマタイトペレットを 700°C で予備還元して得たヴァスタイトに対して還元速度式を適用し、良い一致を見た。

(2) ヘマタイトから予備還元して得たマグネタイトおよびヴァスタイトは、予備還元温度により、著しくその被還元性を異にする。

(3) 低温で予備還元されたものほど被還元性は良い。しかし、その場合でもに、 900°C に加熱されることにより著しく被還元性を低下させる。

(4) 700°C および 900°C で得たヴァスタイトについて、このように被還元性の相違する原因につき考察を行なつた。

文 献

- 1) 徳田、松下: 鉄と鋼, 50 (1964), p. 1626~1629
- 2) L. v. BOGDANDY H-G. RIECKE: Arch. Eisenhüttenw. 29 (1958) p. 603~609
- 3) H. K. KOHL & H-J. ENGELL: Arch. Eisenhüttenw. 34 (1963) p. 411~418
- 4) 久保輝一郎他: 粉体一理論と応用 (1962) 丸善

669.162, 275.2: 622, 341.1: 667.0+6, 272.5

(29) 含チタン鉄鉱の溶鉱炉製錬のための鉱滓組成について

千葉工業大学 工博○大野篤美
トロント大学 H. U. Ross

Optimum Slag Composition for the Blast Furnace Smelting of Titaniferous Ores.
Dr. Atsumi OHNO and H. U. Ross

1. 緒 言

Tiを含む鉄鉱石の溶鉱炉製錬においては、鉱滓の粘

性の増大のために炉の操業が困難になることがよく知られている。しかし一方、またしばしばその製錬に成功している例もあることからして、もし適当な鉱滓組成が選ばれるならばこの種の鉱石の製錬も可能と考えられる。

鉱滓の粘性に対する TiO_2 の影響についての従来の研究の多くは複雑な組成を有する溶鉱炉タイプの鉱滓に対して TiO_2 を加えることによつて行なわれり^{1)~6)}、最適鉱滓組成を決定するための系統的研究はあまり見当らない。

著者⁷⁾らは先に最適鉱滓組成を見出すための基礎的資料を得る目的で、 CaO , SiO_2 , Al_2O_3 , TiO_2 よりなる鉱滓の融点を測定したが、今回はこれらの系における 1450°C 以下で溶解する低融点組成領域の鉱滓についての粘性をMo坩堝およびMoプランジャーを用いAr雰囲気中で測定し、さらに、Ti鉱滓の還元雰囲気中での粘性変化をしらべ、最後に仮定を設けて溶鉱炉製錬におけるTi鉱滓の最適組成範囲を決定した。

2. 粘 性 測 定 法

鉱滓の粘性はKOZAKEVITCH⁷⁾によつて用いられたものと同様の装置で、溶融せる鉱滓中で細いピアノ線に吊したMoプランジャーを回転せしめる方法を用いた。使用した坩堝は中性雰囲気中での測定に対してはMo坩堝を、そして還元雰囲気をあたえるためには黒鉛坩堝を用いた。

鉱滓試料は成分酸化物を 900°C で十分加熱脱水してから配合し、加圧しブリケットにして坩堝に入れた。鉱滓は 1550°C に加熱溶解後、Moプランジャーであらかじめ十分攪拌して後粘性を測定した。

3. 鉱滓の粘性におよぼす TiO_2 および塩基度の影響

試料はまず 1550°C で溶解し粘性を測定した後、 25°C ずつ温度を凝固するまで低下せしめて各温度で粘性を測定した。 1500°C における測定結果の一部はFig. 1に示すとくで、 TiO_2 の量の増すに従つて鉱滓の粘性は低下する。そしてここに示した低融点領域の鉱滓においては、塩基度の大なる方が粘性は小であつた。なお同様の傾向は 10% Al_2O_3 および 20% Al_2O_3 levelでも得られたが、これらの場合ともに Al_2O_3 が鉱滓の粘性を増大せしめることが知られた。

4. 黒鉛坩堝中におけるTi鉱滓の粘性変化

還元雰囲気でのTi鉱滓の粘性変化をみるために試

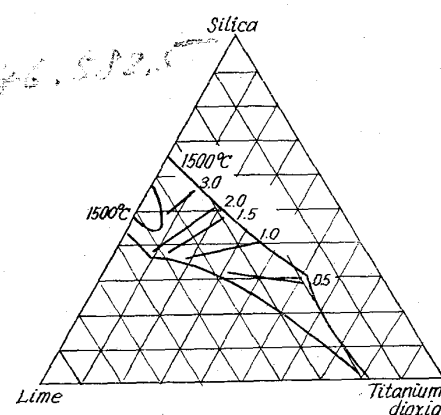


Fig. 1. Original viscosity of the slag lime-silica-titania at 1500°C , poises.

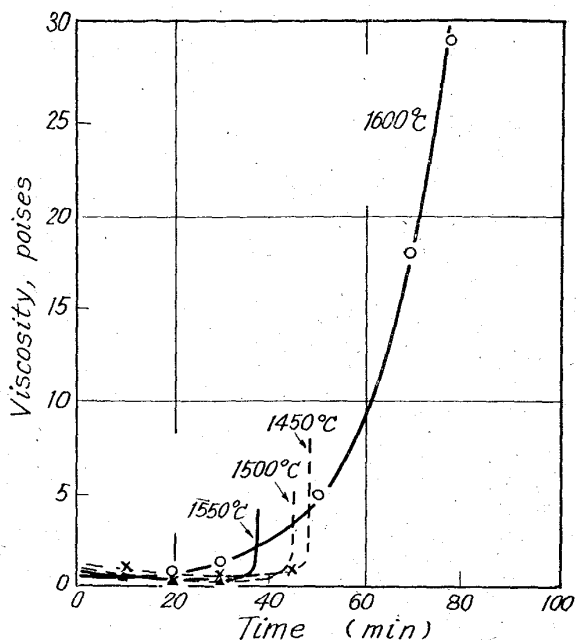


Fig. 2. Variation in viscosity of slag containing 50 per cent titania with time and temperature.

料を黒鉛坩堝中に入れて溶解し、Mo プランジャーを用い Ar 気流中で 1450°C, 1500°C, 1550°C および 1600°C において粘性の変化を連続的に 3 ~ 5 hr 測定した。

4.1 温度の影響

黒鉛坩堝中における Ti 鉱滓の粘性は、温度の上昇につれて急速に増大するが、50%以上の TiO_2 を含む鉱滓においては、Fig. 2 に示すとき特異な現象がみられた。これは 1550 ~ 1600°C 間に融点を有する新しい相が、 TiO_2 の還元によって形成されるためと考えられる。

4.2 TiO_2 および塩基度の影響

Fig. 3 は鉱滓の粘性が 5 poises に達するに要する時間と、 TiO_2 量および塩基度の関係を示すもので、この図において明らかなごとく粘性は最初の試料中の TiO_2 の量の大なる程速かに鉱滓は粘性を増大する。また塩基度が大となるにつれて粘稠化の速度は減ずる。これらの結果は含チタン鉄鉱の製錬に当つて $CaO-SiO_2-TiO_2$ 系状態図の低融点領域の塩基性側の組成の鉱滓を用うるべきことを暗示している。

4.3 Al_2O_3 の影響

Al_2O_3 は Ti 鉱滓の粘稠化を幾分進めるが、その影響は小である。

4.4 N_2 の影響

N_2 は溶鉱炉へ吹き込まれる空気の主要部分を占めるし、事実チタン鉄鉱製錬の際の溶鉱炉の炉床の凝結物中には $TiN^{10)}$ が見出されている。したがつて N_2 が Ti 鉱滓の粘性変化におよぼす影響を知ることは重要と考えられるので、Ar ガスの代りに N_2 ガス中で黒鉛坩堝を用いて還元しつつ、その粘性を連続的に測定した。その結果は Fig. 4 に示すごとくで鉱滓の粘稠化におよぼす影響は

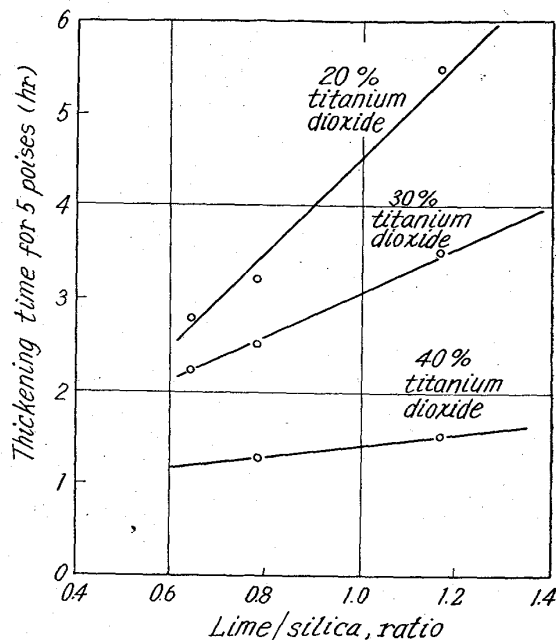


Fig. 3. Effect of basicity and titania content on the thickening of slag.

酸性鉱滓より塩基度の高いものに対して大である。

5. CO 霧囲気中での Ti 鉱滓の粘性

CO ガス中で Ti 鉱滓が粘稠になるか否かを知るために、試料は Mo 坩堝中で 1600°C に溶解し、初めに Ar 気流中で粘性を測定した後、CO ガス霧囲気に 5 hr そのまま保持して、再び粘性を測定したが、変化は全く見られなかつた。

6. 最適鉱滓組成

以上の実験結果から $CaO-SiO_2-TiO_2-Al_2O_3$ 系の低融点組成の鉱滓にあつては初期の粘性は TiO_2 が多く、 Al_2O_3 が少くかつ塩基度の高い組成のもの程小であることが知られる。

また還元による粘稠化の速度は TiO_2 が少くかつ塩基度の高いもの程小である。したがつて今ここにある仮定を設ければチタン鉄鉱製錬のための最適鉱滓組成を示すことができるであろう。

CHIPMAN¹¹⁾によれば 1600°C で流動性の良いとされている鉱滓の粘性は 2 poises 以下である。そして BEHRENDT および Kootz⁴⁾ は流出に必要な鉱滓の粘性の限界は 5 ~ 8 poises と報告している。溶鉱炉内において鉱滓は次第に滴下して炉床にたまりコークスと接触

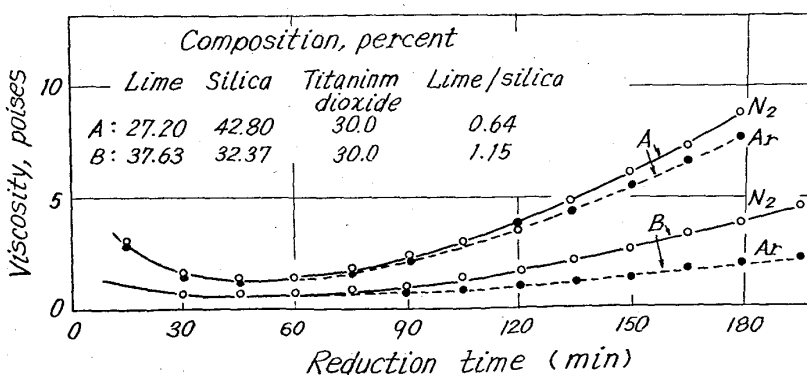


Fig. 4. Effect of nitrogen on the thickening of slag at 1600°C.

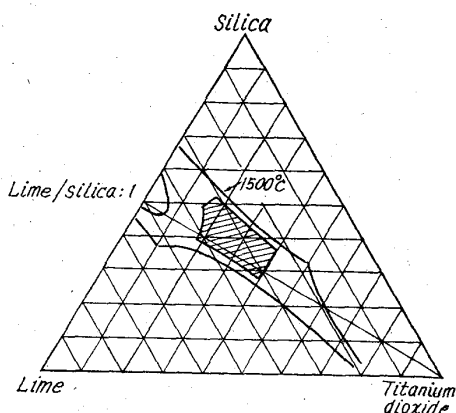


Fig. 5. Optimum slag composition at 1500°C.

Table 1. Optimum slag compositions

Titania(%)	Lime(%)	Silica(%)	Lime/Silica ratio
20	30—42	38—50	0·60—1·10
30	27—36	34—43	0·63—1·06
40	24—32	28—36	0·66—1·14

をはじめる。今炉から鉱滓が4 hrおきに流出されるとすれば鉱滓の炉床における滞在時間を平均して2 hrと仮定することができる。

さらにここではN₂ガス雰囲気中で黒鉛坩堝を用いて行なつた粘性変化に関する実験の資料が、溶鉱炉でのコークスと接触する際の粘性変化に対して、そのまま応用できるとし、炉の操業温度は鉱滓の融点より100°C以上であるべきとする。最適組成の鉱滓の初期粘性を2 poises以下、2 hr還元後の粘性を5 poises以下のものとすれば各温度においてFig. 5に示すような状態図が得られる。Fig. 5は1500°Cにおける最適鉱滓組成を示すもので、ここで斜線を施した領域は1400°C以下の融点を有する鉱滓で、TiO₂の低い方の限界は初期粘性2 poisesのそして高い方の限界は還元中に鉱滓がFig. 2に示したごとく急激に粘性変化を起す点をとった。同様の図を1550°Cおよび1600°Cで作成するとこれらの温度ではTiO₂の低い方の限界はのがるが還元による粘稠化がすみやかになり最適組成領域は狭い塩基度の高い方に片よる。また1450°Cでは仮定にしたがつて鉱滓の融点は1350°C以下でなければならぬのでその領域は著しく狭くなる。したがつてこのようないかなる仮定のもとで最も広い最適鉱滓組成領域は1500°Cで得られる。そしてこの温度での最適鉱滓組成は第1表に示すごとくである。

この組成はさらにFeO, MnOの添加によって広まるものと考えられるがそれらについては後の研究にゆずる。

7. 結 言

CaO-SiO₂-Al₂O₃-TiO₂系状態図における低融点領域の組成を有する鉱滓の中性雰囲気における粘性測定を行ない、さらに還元条件下でのその粘性の変化に及ぼすTiO₂, Al₂O₃, 塩基度、およびN₂ガスの影響をしらべた。

最後に仮定を設けて含チタン鉄鉱の溶鉱炉製錬のための最適鉱滓組成および操業温度をきめた。

文 献

- HARTMAN, V. F., Stahl und Eisen, 58 (1938), p. 1029
- VOLAROVICH, M. P., and ZVEREV, L. V. Viscosity of Molten Titanium Slags, Domez. (1934) 5, p. 22
- Endell, Kurd, and Brinkman, Stahl und Eisen, 58, (1938), p. 1319
- BEHRENDT, G., and Kootz, T. Stahl und Eisen, 69, (1949), p. 399
- ROSENQUIST, T., Institute of Metallurgy, Tech. University of Norway, Trondheim-Private communication
- MIKHAIEV and BELYKOVA, Ural Met., (1939) 6, p. 7
- OHNO, A., and Ross, H. U., Can. Met. Quart., 2, No. 3
- KOZAKEVITCH, P. P., Revue de Metallurgie, 51, (1954), p. 17
- Kagakubinran, Chemical Handbook, Japan (1956), p. 358
- JANSSON, S., Jernkontorets Annaler, 124, (1940), p. 274
- CHIPMAN, J., Basic Open Hert Smetting, (1951), p. 539

622.344.1-472-546.18

(30) 海底砂鉄中に含まれる磷分の存在状態について

九州大学工学部

○坂田 武彦・工博 八木貞之助
On the Constitution of Phosphor contained in Undersea Iron Sand.

Takehiko SAKATA and Dr. Teinosuke YAGI

1. 緒 言

海底砂鉄の表面には、磷化合物が付着していることを発見し、これを研究速報¹⁾で報告した。筆者らは、さらに脱磷法の基礎的な研究として、1) 砂鉄表面に付着している磷化合物の化学分析による決定、2) 砂鉄表面を機械的に剥離し得られた粉末のX線的研究、3) 砂鉄表面の磷分の溶解ならびに吸着の条件などについて、研究を試みたのでそれらの結果について報告する。

2. 試料および装置

試料は、北海道函館産、福岡県津屋崎産、熊本県玉名産、鹿児島県産、大分県産のいずれも、海底砂鉄を使用した。装置は、電気定温振盪装置を使用し、酸の稀薄溶液により、表面剥離の実験を行なつた。剥離用の酸はいずれも特級の試薬を使用した。別に、X線回折用に砂鉄の表面粉末を得るために電動式の砂鉄表面剥離機械を試作してこれを使用した。

3. 実 験

3.1 実験(1)